



بررسی دگرسانی، کانه‌زایی و میانبارهای سیال ذخیره مس- طلای خوینرود، شمال ورزقان، استان آذربایجان شرقی، شمال غرب ایران

قهارمان سهرابی^{*}، فاطمه حسنی سوقی^۲، زهرا حسنی سوقی^۲

۱- گروه زمین‌شناسی، دانشگاه محقق اردبیلی، اردبیل، ایران

۲- گروه علوم زمین، دانشکده علوم طبیعی، دانشگاه تبریز، تبریز، ایران

(دریافت مقاله: ۱۴۰۱/۵/۵، نسخه نهایی: ۱۴۰۱/۸/۲۸)

چکیده: منطقه خوینرود در ۲۵ کیلومتری شمال شهرستان ورزقان، استان آذربایجان شرقی و در منطقه فلززایی ارسباران قرار دارد. سنگ‌های میزبان رگه- رگچه‌های کوارتز دارای ترکیب کوارتز-مونزونیتی و دیوریتی هستند. دگرسانی‌های قابل تشخیص پیرامون رگه- رگچه‌های کوارتزی شامل انواع سیلیسی، فیلیک، آرژیلی و پروپیلیتی هستند. رگه- رگچه‌های کوارتزی بافت‌های نواری، شانه‌ای، پرکننده فضای خالی، حفره‌ای و برشی دارند. کانه‌زایی طی دو مرحله درونزاد و برونزاد رخ داده است. کانی‌های درونزاد شامل کانی‌های سولفیدی (کالکوپیریت، پیریت و بورنیت) و طلا هستند که با کانی‌های برونزاد چون اکسیدها و هیدروکسیدهای آهن (گوتیت، هماتیت و جاروسیت)، کربنات‌های مس (مالاکیت و آزویریت) و سولفیدهای ثانویه مس (کوولیت و کالکوسیت) همراهی می‌شوند. دماسنجی میانبارهای سیال دوفازی غنی از مایع در کانی کوارتز همزاد با کانی‌سازی نشان می‌دهد که شوری میانبارهای سیال بین ۸ تا ۲۰ درصد وزنی معادل نمک طعام و دمای همگن شدگی آنها در گستره ۱۴۰ تا ۳۸۰ درجه سانتی گراد قرار است. بر اساس یافته‌های دماسنجی، لیگاندهای مؤثر در حمل و نقل فلزها از نوع کلریدی و سولفیدی بوده و پدیده جوشش، سرد شدن و رقیق‌شدگی با سیال- های جوی مهمترین سازوکارها در نهشت کانسنتگها هستند. بررسی یافته‌های زمین‌شناسی، دگرسانی، کانی‌شناسی، بافتی و میانبارهای سیال در رگه- رگچه‌های کوارتز نشان می‌دهد که کانه‌زایی در منطقه خوینرود شباهت بسیاری به ذخایر فراگرمایی نوع سولفیدشدگی پایین دارد.

واژه‌های کلیدی: میانبارهای سیال؛ کانه‌زایی طلا؛ فراگرمایی؛ خوینرود؛ ورزقان.

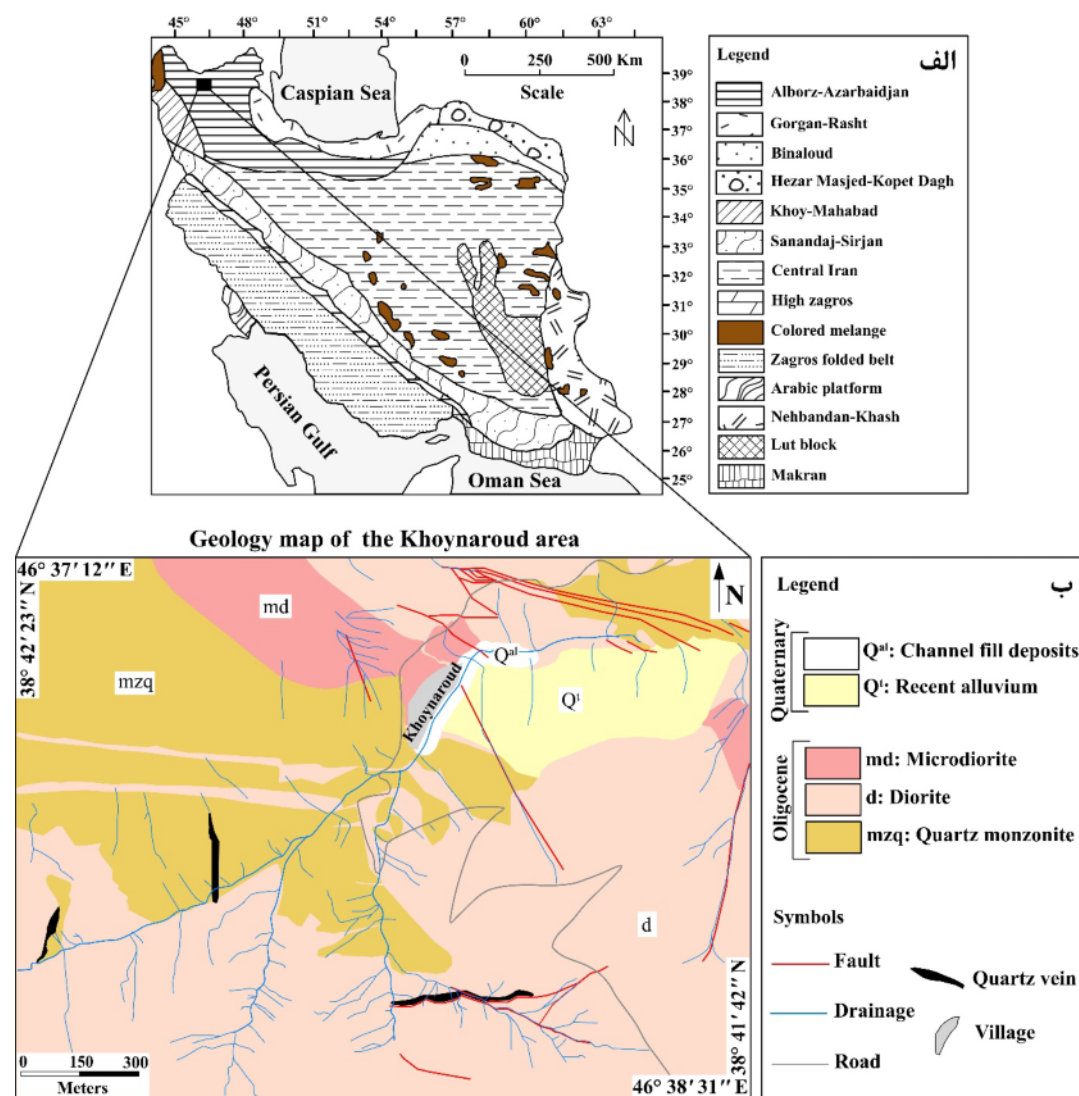
مشگین‌شهر، اهر، کلیبر، ورزقان، سیه‌رود و بلندی‌های ارسباران و قره‌داغ را شامل می‌شود، به عنوان یکی از مهم‌ترین و شناخته‌شده‌ترین مناطق فلززایی ایران با کانه‌زایی مس- مولبیدن و طلا مطرح است. این منطقه از نظر زمین‌شناسی از جنوب و جنوب‌غرب به گسل تبریز- سلطانیه، از شرق به گسل اردبیل- میانه و از شمال شرق به فروافتادگی نزدیک گسل شرقی- غربی مغان محدود است. ادامه این منطقه فلززایی در شمال به پهنه فلززایی قفقاز کوچک می‌رسد [۳]. بیشتر سنگ‌های سازنده منطقه فلززایی ارسباران را سنگ‌های

مقدمه

منطقه خوینرود در ۲۵ کیلومتری شمال شهرستان ورزقان در استان آذربایجان شرقی و در منطقه فلززایی ارسباران واقع است. این منطقه بر اساس تقسیم‌بندی پهنه‌های ساختاری ایران [۱] در پهنه البرز- آذربایجان (شکل ۱ الف) و از نظر موقعیت زمین‌شناسی بر نقشه زمین‌شناسی ۱:۱۰۰۰۰۰ ورزقان [۲] با مختصات عرض جغرافیایی "۴۱° ۴۲' ۲۳" تا "۴۲° ۳۸' ۴۱" و طول جغرافیایی "۳۱° ۳۸' ۴۶" تا "۳۷° ۱۲' ۴۶" شمالی و طول جغرافیایی "۳۱° ۳۸' ۴۶" تا "۳۷° ۱۲' ۴۶" شرقی دارد. منطقه فلززایی ارسباران که گستره شمال و غرب

۱:۲۰۰۰۰ بررسی شد و نقشه زمین‌شناسی و معدنی در مقیاس ۱:۵۰۰۰ تهیه گردید که بر اساس آن، مقدار طلا در نمونه‌های کانی سنگین از ۱ تا ۱۶۴ ذره و قطر آنها از ۷۵ تا ۱۴۰ میکرون متغیر است [۱۵]. سپس در سال ۱۳۸۵، عملیات اکتشافی (حفر ترانشه) در این منطقه توسط سازمان زمین‌شناسی و اکتشافات معدنی کشور انجام شد [۱۶]. در این پژوهش، افزون بر ویژگی‌های زمین‌شناسی، دگرسانی و کانه‌زایی، مشخصه‌های میانبارهای سیال و شرایط فیزیکوشیمیایی سیال‌های کانه‌ساز در منطقه بررسی شد. امید است نتایج این پژوهش بتواند برای پیشبرد اهداف اکتشافی در منطقه مفید و مؤثر واقع شود.

ماگمایی ترشیری تشکیل می‌دهند که از کرتاسه پسین با فعالیت‌های آتشفشاری از نوع آندزیتی شروع شده و به طور متناوب تا کواترنر ادامه می‌یابند [۴]. انواع کانسارها و نشانه‌های معدنی به صورت رگه‌ای (در نفوذی‌ها و آتشفشاری‌ها)، اسکارن و نیز پورفیری در گستره‌ای از سنگ‌های آتشفشاری ائوسن و نفوذی‌های پس از ائوسن در این منطقه شناسایی شده‌اند. کانسارهای سونگون [۵]، مسجدداغی [۶، ۷]، شرف‌آباد [۸]، صفی‌خانلو- نقدوز [۹، ۱۰]، نبی‌جان [۱۱]، مزرعه [۱۲] و استرقان [۱۳] از جمله کانسارهای این منطقه هستند. در سال ۱۳۶۴، به حضور طلا در منطقه خوینرود اشاره شد [۱۴]. در سال ۱۳۷۰، پتانسیل طلا و سایر عناصر در منطقه خوینرود به روش زمین‌شیمیایی و کانی‌های سنگین در مقیاس



شکل ۱ (الف) موقعیت منطقه مورد بررسی بر نقشه تقسیم‌بندی پهنه‌های ساختاری ایران [۱] و (ب) نقشه زمین‌شناسی منطقه خوینرود که با تغییرات از مرجع [۲] برگرفته شده است.

توده دیوریتی بیشتر در جنوب‌شرق، جنوب و جنوب‌غرب واحد کوارتزمونزونیتی است. روند اغلب دایک‌ها شمال‌غرب-جنوب‌شرق تا شرقی- غربی است و تعدادی از آن‌ها دارای روند شمالی- جنوبی تا شمال‌شرق- جنوب‌غرب هستند. واحد سنگی کوارتزمونزونیتی در زیر میکروسکوپ دارای بافت پورفیری و در بردارنده بلورهای پلازیوکلاز در زمینه ریزبلوری از کوارتز، فلدسپارقلایی و پلازیوکلاز است (شکل ۲ ب). پلازیوکلازها به صورت بلورهای نیمه‌شکل‌دار (۰/۵ تا ۳ میلی‌متر) هستند و اغلب به کانی‌های ثانویه سری‌سیست، اپیدوت، کانی‌های رسی و کلسیت دگرسان شده‌اند (شکل ۲ ب). فلدسپارهای قلایی به صورت بلورهای بی‌شکل در متن سنگ پراکنده هستند. بلورهای بیوتیت، آمفیبول، آپاتیت و زیرکن نیز به صورت کانی‌های فرعی حضور دارند. کانی‌های بیوتیت و آمفیبول به صورت بلورهای نیمه‌شکل‌دار تا شکل‌دار (۰/۸ تا ۱ میلی‌متر) دیده می‌شوند و اغلب به مجموعه‌ای از کانی‌های ثانویه کلریت، کانی‌های رسی و اکسیدهای آهن تجزیه شده‌اند. کانی‌های ثانویه کوارتز و اکسیدهای آهن به صورت پراکنده و رگچه‌ای در متن سنگ دیده می‌شوند.

واحد دیوریتی (d): این توده نفوذی بیشترین حجم برونزدهای جنوب و جنوب‌شرق منطقه مورد بررسی را شامل می‌شود. اغلب رگه- رگچه‌های کوارتزی در این واحد سنگی میزبان برونزد یافته‌اند (شکل ۱ ب). این توده دیوریتی توده کوارتزمونزونیتی را قطع کرده و از آنجا که خود با رگه- رگچه‌های کوارتزی قطع شده است، به نظر می‌رسد که زمان نفوذ آن پس از تزریق توده کوارتزمونزونیتی و پیش از فعالیت‌های گرمایی استوک پورفیری بوده است. وجود میانبارهایی از واحد کوارتزمونزونیتی درون توده دیوریتی را می‌توان شاهدی بر این امر دانست. دایک‌های با ترتیب شیبه توده دیوریتی، توده کوارتزمونزونیت پورفیری را قطع کرده‌اند، که به نظر می‌رسد که از همان توده شکل گرفته و در زمان جایگیری توده دیوریتی در شکستگی‌های استوک کوارتزمونزونیتی به صورت دایک نفوذ کرده‌اند (شکل ۲ پ). این دایک‌ها اغلب دارای روند شمال‌غرب- جنوب‌شرق تا شرقی- غربی با راستای شیب شمال‌شرق هستند. اندازه شیب دایک‌ها نیز ۷۰ تا ۹۰ درجه است. از نظر ماکروسکوپی، اغلب این نمونه‌ها رنگ سبز روشن تا تیره و بافت پورفیری دارند که با درشت بلورهای پلازیوکلاز و آمفیبول مشخص می‌شوند. کلریت

روش بررسی

بررسی‌های انجام شده در این پژوهش در برگیرنده دو بخش صحرایی و آزمایشگاهی است. در بخش صحرایی، پیمایش و بازدیدهای صحرایی برای شناسایی پهنه‌های دگرسانی، کانی‌سازی، رگه- رگچه‌های کوارتزی، بررسی ارتباط بین آنها و سنگ‌های میزبان و نمونه‌گیری از آنها (حدود ۵۰ عدد) به منظور بررسی‌های آزمایشگاهی انجام شد. در بخش آزمایشگاهی، ۲۰ مقطع نازک و ۱۰ مقطع نازک- صیقلی برای سنگ‌نگاری و کانه‌نگاری تهیه و در آزمایشگاه زمین‌شناسی دانشکده علوم پایه دانشگاه محقق اردبیلی بررسی گردید. برای بررسی میانبارهای سیال، ۵ مقطع دوبر صیقلی از رگه- رگچه‌های کوارتزی تهیه شد. بررسی‌های سنگ‌نگاری میانبارهای سیال با میکروسکوپ المپوس مدل BX50 و با عدسی ۱۰۰X انجام شد. اندازه‌گیری‌های دما‌سنجی بر میانبارهای سیال با دستگاه لینکام مدل THMSG600 صورت گرفت. گستره دمایی دستگاه از +۶۰۰ تا -۱۹۶ درجه سانتی‌گراد با دقت ۰/۰۱ درجه سانتی‌گراد است. واسنجی دستگاه به کمک استانداردهای نیترات سدیم با نقطه ذوب +۳۰/۸ درجه سانتی‌گراد و تتراکلرید کربن با نقطه ذوب -۲۲/۹۹ درجه سانتی‌گراد انجام شد.

بحث و بررسی

زمین‌شناسی و سنگ‌نگاری

با توجه به نقشه زمین‌شناسی منطقه خوینرود، مجموعه واحدهای سنگی برونزدیافتہ شامل واحدهای کوارتزمونزونیتی، دیوریتی، میکرو‌دیوریتی و رسوب‌های کواترنری هستند (شکل ۱ ب) که در ادامه توصیف می‌شوند.

واحد کوارتزمونزونیتی (mzq): این توده نفوذی از نظر سنی مربوط به الیگوسن است [۲] و به صورت یک توده بیضوی شکل و در راستای تقریبی شرقی- غربی برونزد دارد (شکل ۲ الف). قطر بزرگ این توده بیضوی شکل حدود ۲/۶ کیلومتر و قطر کوچک آن حدود ۰/۹ کیلومتر است، از این رو می‌توان آن را به شکل یک استوک بیضوی کوچک در نظر گرفت. این استوک کوارتزمونزونیتی از شرق و غرب با توده دیوریتی در برگرفته شده است. در برخی بخش‌ها، این واحد سنگی رگه- رگچه‌های کوارتزی را میزبانی می‌کند. ویژگی‌های بافتی این توده نشان‌دهنده بافت پورفیری است. به توده نفوذی یاد شده دو توده دیوریتی و دایک‌های وابسته هجوم آورده‌اند. برونزد این دو

روشن، سبز روشن تا قهوه‌ای هستند و بافت آنها نیز پورفیری است.

رسوب‌های کواترنری (Q^{al}, Q^t): واحد Q^t شامل رس، قلوه‌سنگ و لای و واحد Q^{al} شامل شن، لای و ماسه‌سنگ هستند که پادگانه‌های آبرفتی و مخروطافکنه‌های جوان را در منطقه تشکیل می‌دهند [۲].

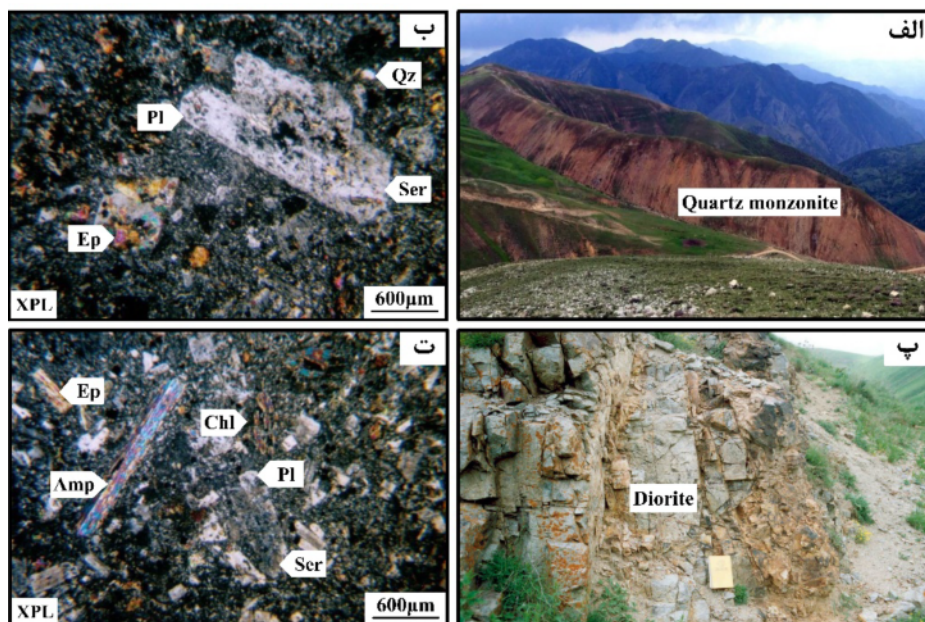
دگرسانی

دگرسانی گرمایی در منطقه خوینرود گستردگی به نسبت زیادی دارد، ولی بیشترین شدت آن به طور معمول به پیرامون پهنه‌های کانه‌دار محدود می‌شود. بر اساس بررسی‌های صحرایی و میکروسکوپی، عمده‌ترین دگرسانی‌ها در منطقه خوینرود شامل انواع دگرسانی‌های سیلیسی، فیلیک، آژیلیک و پروپیلیتیک هستند. این دگرسانی‌ها در هر دو واحد سنگی میزان (کوارتزمونزونیتی و دیوریتی) شناسایی شده‌اند. به طور کلی، با دور شدن از رگه- رگچه‌های کوارتزی از شدت دگرسانی کاسته می‌شود، به طوریکه در نزدیکی رگه- رگچه‌های کوارتزی، دگرسانی‌های سیلیسی و فیلیک و در فاصله دورتر از رگه- رگچه‌ها، دگرسانی‌های آژیلیک و پروپیلیتیک غالب هستند.

و اپیدوت در این نوع سنگ‌ها در مقیاس ماکروسکوپی به مقدار کم دیده می‌شوند. این سنگ‌ها در زیر میکروسکوپ دارای بافت پورفیری و شامل بلورهای پلازیوکلاز و آمفیبول در زمینه ریزسنگی از پلازیوکلاز و آمفیبول هستند (شکل ۲ ت).

پلازیوکلازها به صورت بلورهای نیمه‌شکل دار هستند و اغلب به کانی‌های ثانویه سریسیت، اپیدوت و کانی‌های رسی تجزیه شده‌اند (شکل ۲ ت). بلورهای آمفیبول به صورت نیمه‌شکل دار هستند و بیشتر به کانی‌های ثانویه کلریت دگرسان شده‌اند. آپاتیت‌ها نیز به عنوان کانی‌های فرعی در این سنگ‌ها حضور دارند. کانی‌های کلریت و اپیدوت به صورت پراکنده و کانی ثانویه کوارتز به صورت رگچه‌ای در متن سنگ دیده می‌شوند.

واحد میکرودیوریتی (md): این واحد در بخش‌های میانی و شرقی منطقه به صورت توده‌ای دیده می‌شود (شکل ۱ ب). دایک‌هایی با این نوع ترکیب در برخی بخش‌ها توده کوارتزمونزونیت پورفیری را قطع نموده‌اند. روند تقریبی این نوع دایک‌ها شمالی- جنوبی با شبیه حدود ۷۰ درجه به سمت غرب است. سامانه درزهای در این توده با فواصل کم در راستاهای مختلف دیده می‌شود و از این رو، در بیشتر بخش‌ها خردشده‌گی زیادی وجود دارد و قطعه‌های آن بسیار زاویه‌دار هستند. سنگ‌های این واحد از نظر ماکروسکوپی به رنگ خاکستری



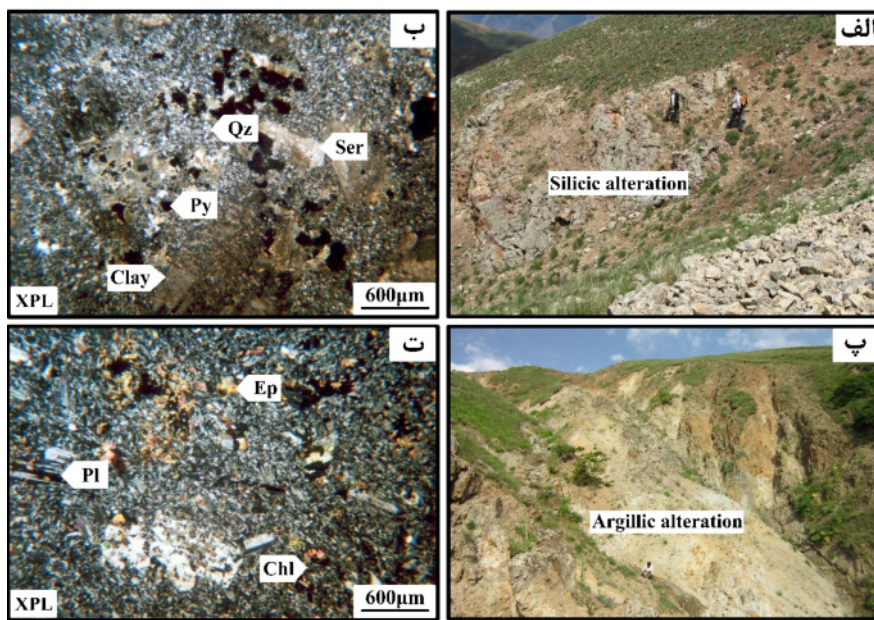
شکل ۲ تصاویر صحرایی و میکروسکوپی از واحدهای سنگی منطقه خوینرود: (الف) بروزد صحرایی از واحد کوارتزمونزونیتی (دید به سمت شمال)، (ب) دگرسانی پلازیوکلازها به کانی‌های سریسیت و اپیدوت در واحد سنگی کوارتزمونزونیتی، (پ) نمای صحرایی از دایک دیوریتی (دید به سمت شمال‌غرب) و (ت) دگرسانی پلازیوکلازها به کانی‌های سریسیت و اپیدوت و دگرسانی آمفیبول به کانی کلریت در واحد سنگی دیوریتی (Chl: کلریت، Ser: سریسیت، Ep: اپیدوت، Pl: پلازیوکلاز، Qz: کوارتز و Amp: آمفیبول [۱۷]).

دگرسانی آرژیلیک: گستردگی دگرسانی آرژیلیکی نسبت به سایر دگرسانی‌ها در منطقه زیاد است و در لبه دگرسانی سریسیتی دیده می‌شود. این پهنه دگرسانی به‌طور عمده بهرنگ سفید تا زرد و در برخی بخش‌ها به‌دلیل حضور اکسیدها و هیدروکسیدهای آهن، بهرنگ نارنجی تا قرمز دیده می‌شود (شکل ۳ پ). براساس بررسی‌های میکروسکوپی، دگرسانی آرژیلیکی با حضور کانی‌های رسی مشخص می‌شود. در این نوع دگرسانی، کانی‌های رسی اغلب بلورهای پلازیوکلاز و سریسیت را جانشین کرده‌اند.

دگرسانی پروپیلیتیک: این نوع دگرسانی گسترش کمتری در منطقه دارد و با رنگ سبز تیره قابل تشخیص است. این دگرسانی محدود‌کننده بخش‌های خارجی سامانه دگرسانی گرمابی در منطقه است. به‌طور عمده دگرسانی پروپیلیتی شدت بالایی ندارد و بافت اولیه سنگ‌ها به‌ندرت در این پهنه دگرسانی از بین رفته است. بر پایه بررسی‌های میکروسکوپی، کانی‌های اصلی این نوع دگرسانی در منطقه اپیدوت و کلریت هستند که در آن کانی‌های پلازیوکلاز به‌صورت بخشی با اپیدوت و کانی‌های فرومیزین (آمفیبیول و بیوتیت) با کلریت جانشین شده‌اند (شکل ۳ ت). کانی‌های کلریت اغلب به رنگ سبز دیده می‌شوند و گاهی دارای بافت شعاعی هستند.

دگرسانی سیلیسی: دگرسانی سیلیسی مهمترین دگرسانی در منطقه بوده و اغلب به صورت رگه- رگچه‌ای و سیلیسی‌شدن سنگ‌های میزبان رخ داده است (شکل ۳ الف). این نوع دگرسانی در ارتباط تنگانگ با رگه- رگچه‌های کانه‌دار است و به‌طور عمده در لبه رگه- رگچه‌ها دیده می‌شود. پهنه‌های دربردارنده این دگرسانی اغلب به‌دلیل مقاومت بیشتر نسبت به هوازدگی، از نظر مکان‌نگاری به صورت مناطق برجسته بروزد دارند. بر اساس بررسی‌های میکروسکوپی، کانی‌های کوارتز مهمترین کانی‌های سازنده این پهنه هستند که به صورت بلورهای ریز و درشت حضور دارند. این بلورهای کوارتز به صورت رگچه‌ای، پرکننده فضاهای خالی و جانشینی در زمینه سنگ‌های میزبان (کوارتز‌موزونیت و دیوریت) تشکیل شده‌اند.

دگرسانی فیلیک (یا سریسیتیک): در منطقه مورد بررسی، دگرسانی سریسیتی اغلب پیرامون دگرسانی سیلیسی دیده می‌شود. دگرسانی سریسیتی گسترش به نسبت محدودی در منطقه دارد و بهرنگ سفید تا خاکستری دیده می‌شود. بر اساس بررسی‌های میکروسکوپی، این نوع دگرسانی با حضور کانی‌های سریسیت، کوارتز و پیریت همراه با مقادیر کمی از کانی‌های رسی قابل شناسایی است (شکل ۳ ب). کانی‌های پلازیوکلاز در این پهنه به‌طور بخشی به سریسیت تجزیه شده‌اند. این نوع دگرسانی به‌طور تدریجی به سمت بیرون به



شکل ۳ تصاویر صحرایی و میکروسکوپی از پهنه‌های دگرسانی در منطقه خوینرود: (الف) تصویر صحرایی از پهنه دگرسانی سیلیسی (دید به سمت شمال)، (ب) حضور کانی‌های کوارتز، سریسیت و پیریت به همراه کانی‌های رسی در پهنه دگرسانی فیلیک، (پ) نمای صحرایی از پهنه دگرسانی آرژیلیک (دید به سمت شمال) و (ت) حضورهای کانی‌های اپیدوت و کلریت در پهنه دگرسانی پروپیلیتیک. (QZ: کوارتز، Ep: اپیدوت، Chl: کلریت، سریسیت، Pl: پلازیوکلاز، Py: پیریت و Clay: کانی‌های رسی [۱۷]).

هماتیت، جاروسیت، کوولیت و کالکوسیت جانشین شده است (شکل ۵ ب). پیریت نسبت به کالکوپیریت فراوانی کمتری دارد و به صورت شکل‌دار تا نیمه‌شکل‌دار و با اندازه ۱۰۰ تا ۳۰۰ میکرون اغلب به صورت پراکنده درون بلورهای کوارتز دیده می‌شود. این کانی اغلب به گوتیت، هماتیت و جاروسیت تبدیل شده است (شکل ۵ پ). کانی بورنیت بیشتر همراه با کالکوپیریت یافت می‌شود و به طور ترجیحی جانشین آن شده است. این کانی اغلب با گوتیت، هماتیت، جاروسیت، ملاکیت و آزوریت جانشین شده است (شکل ۵ ب). طلا نیز به صورت پراکنده و آزاد با اندازه‌های بسیار ریز درون کانی‌های کوارتز حضور دارد (شکل ۵ ت). ملاکیت و آزوریت که ناشی از دگرسانی کانی‌های کالکوپیریت و بورنیت هستند، در نتیجه واکنش مس آزادشده با کمپلکس کربناتی تشکیل شده‌اند. این کانی‌ها به صورت پراکنده و پرکنده حفره‌ها و فضاهای خالی قابل دیده هستند. ملاکیت گاهی با بافت رشتہ‌ای نیز در منطقه دیده می‌شود (شکل ۵ ث). آزوریت فراوانی کمتری نسبت به ملاکیت دارد و با رنگ آبی لاجوردی در منطقه قابل تشخیص است (شکل ۵ ج). گوتیت، هماتیت و جاروسیت در اثر اکسایش کانی‌های سولفیدی اولیه تشکیل شده‌اند و اغلب به صورت جانشینی در کناره‌های کانی‌های سولفیدی دیده می‌شوند (شکل‌های ۵ ب و پ). کوولیت و کالکوسیت به صورت جانشینی در لبه کانی کالکوپیریت حضور دارند.

کانی‌های باطله موجود در منطقه کوارتز و کلسیت هستند که کوارتز اصلی‌ترین کانی باطله در منطقه محسوب می‌شود. این کانی را می‌توان بر اساس اندازه بلورها به دو دسته ریزلولور و درشت بلور تقسیم نمود. بلورهای کوارتز به صورت نهان‌بلور تا بلورهای خودشکل و درشت به رنگ سفید تا خاکستری در رگه-رگچه‌های کوارتزی قابل شناسایی هستند. کلسیت در مقطع میکروسکوپی به صورت بلورهای ریز و درشت با بافت پرکننده فضای خالی و رگچه‌ای حضور دارد.

بررسی

میانبارهای سیال

بررسی میانبارهای سیال، می‌توان افزون بر دمای شکل‌گیری کانسار، ترکیب شیمیایی سیال‌های کانه‌ساز را نیز تا حدی تعیین کرد. افزون بر این، بررسی میانبارهای سیال به عنوان روشی مستقیم برای تشخیص وضعیت سیال‌های کانه‌ساز و فرآیندهای مؤثر در تشکیل کانسار اهمیت بسیاری دارد و

کانه‌سازی

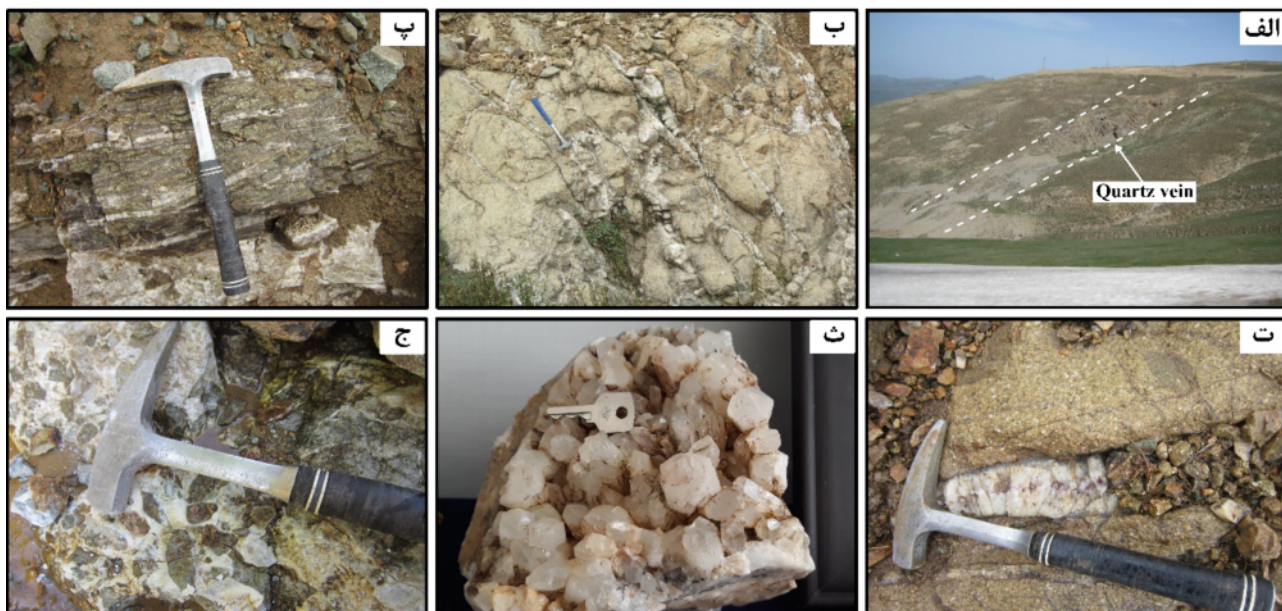
کانه‌سازی در منطقه خوینرود به صورت رگه-رگچه‌های کوارتزی و بیشتر در راستای پهنه‌های گسلی و درون شکستگی‌ها روی داده است (شکل ۴ الف). رگه-رگچه‌های کوارتزی در منطقه توسط هر دو واحد کوارتزمونزونیتی و دیوریتی میزبانی می‌شوند، ولی اغلب این رگه‌ها متفاوت بوده و واحد دیوریتی دیده شده‌اند. راستای این رگه‌ها متغیر است. شبی رگه‌ها نیز زیاد بوده و به طور تقریبی تا ۸۰ درجه اندازه‌گیری شده است. شبی در رگه‌هایی با راستای شرقی-غربی به سمت شمال و در رگه‌هایی با راستای شمالی-جنوبی به سمت غرب است. رگه‌های کوارتزی دارای طولی بین ۱۰ تا ۳۵۰ متر و ضخامتی بین ۳ تا ۱۵ متر هستند. این رگه-رگچه‌ها اغلب به رنگ سفید چرک دیده می‌شوند و گاهی ساخت داربستی را تشکیل داده‌اند (شکل ۴ ب). همچنین رگه-رگچه‌های کوارتزی بافت‌های نواری (شکل ۴ پ)، شانه‌ای (شکل ۴ ت)، پرکننده فضای خالی (شکل ۴ ث)، حفره‌ای و برشی (شکل ۴ ج) نشان می‌دهند. کانه‌سازی در رگه-رگچه‌های کوارتزی شامل کانی‌های سولفیدی (کالکوپیریت، پیریت و بورنیت) و طلاست.

بر اساس بررسی‌های صحرایی و میکروسکوپی، کانه‌سازی در منطقه خوینرود طی دو مرحله درونزاد و برونزاد روی داده است. در مرحله درونزاد، فعالیت محلول‌های گرمابی سبب تشکیل رگه-رگچه‌های کوارتزی و گسترش پهنه‌های دگرسانی (سیلیسی، فیلیک، آرژیلیک و پروپیلیتیک) پیرامون آنها شده است. کانه‌سازی سولفیدی (کالکوپیریت، پیریت و بورنیت) و طلا در این مرحله از کانه‌سازی رخ داده است. در مرحله برونزاد، واکنش سیال‌های جوی فرورو با کانی‌های سولفیدی اولیه سبب تشکیل کانی‌های ثانویه چون اکسیدها و هیدروکسیدهای آهن (گوتیت، هماتیت و جاروسیت)، کربنات‌های مس (ملالکیت و آزوریت) و سولفیدهای ثانویه مس (کوولیت و کالکوسیت) شده است.

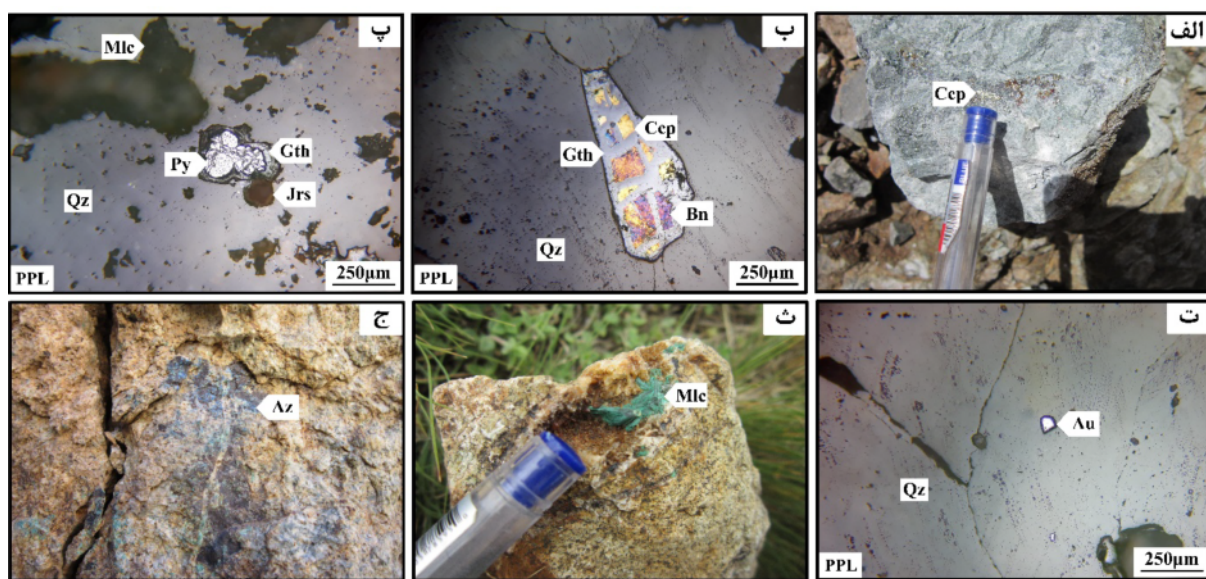
کالکوپیریت مهم‌ترین و فراوان‌ترین کانی سولفیدی مس در منطقه خوینرود است و به صورت بی‌شکل تا نیمه‌شکل‌دار حضور دارد (شکل ۵ الف). این کانی اغلب با اندازه‌های ۵۰ میکرون تا چند میلی‌متر به صورت لکه‌ای و پراکنده در زمینه سیلیسی دیده می‌شود. بخشی از کانی کالکوپیریت در اثر فرآیندهای برونزاد اغلب از لبه با کانی‌های ملاکیت، آزوریت، گوتیت،

کانی‌سازی بررسی شدند. پس از بررسی‌های سنگنگاری مقاطع دوبر صیقلی، آزمایش‌های دماستجی برای آنها انجام شد.

اطلاعات مهمی از خاستگاه و تکامل سیال‌ها ارائه می‌دهد [۱۸]. برای شناسایی شرایط فیزیکوشیمیایی سیال‌های کانه‌ساز در منطقه خوینرود، میانبارهای سیال کانی‌های کوارتز همزاد با



شکل ۴ تصاویر صحرایی و مزوسکوپی از رگه-رگچه‌های کوارتز و بافت‌های موجود در آنها در منطقه خوینرود: (الف) نمای صحرایی از رگه کوارتزی در واحد سنگی دیوریتی (دید به سمت شمال شرق)، (ب) ساخت داربستی در رگه-رگچه‌های کوارتزی، (پ) بافت نواری در رگه-رگچه‌های کوارتز، (ت) نمایی از بافت شانه‌ای در بلورهای کوارتز، (ث) رخنمونی از بلورهای کوارتز با بافت پرکننده فضای خالی و (ج) نمایی از برشی شدن رگه-رگچه‌های کوارتزی.



شکل ۵ تصاویر مزوسکوپی و میکروسکوپی از کانی‌های درونزاد و بروزداد در رگه-رگچه‌های کوارتزی منطقه خوینرود: (الف) کانه‌زایی کالکوپیریت در رگه-رگچه‌های کوارتزی، (ب) کالکوپیریت و بورنیت که توسط گوتیت جانشین شده‌اند، (پ) کانی پیریت که به گوتیت و جاروسیت دگرسان شده است، (ت) حضور ذره طلا درون بلورهای کوارتز، (ث) کانی‌سازی مالاکیت با بافت رشتهدی و (ج) نمایی از کانی آزوریت به رنگ آبی لاجوردی. (Qz: کوارتز، Cep: کالکوپیریت، Gth: گوتیت، Bn: بورنیت، Py: پیریت، Mlc: جاروسیت، Jrs: مالاکیت و Az: آزوریت [۱۷]).

به صورت بی‌شکل تا نیمه‌شکل دار در کنار میانبارهای سیال دوفازی غنی از مایع دیده می‌شوند (شکل ۶ الف).

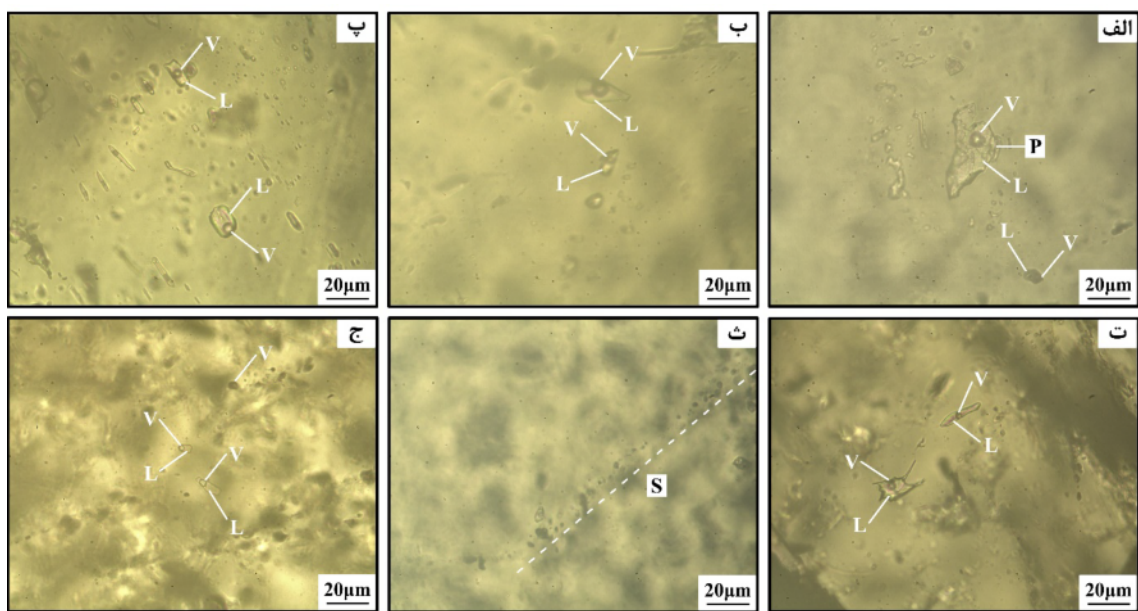
تک فاز گازی (V): این نوع میانبارهای سیال نسبت به سایر میانبارها فراوانی بسیار کمتری دارند و اندازه آنها نیز اغلب کمتر از ۱۰ میکرون است. بیشتر حجم (حدود بیش از ۹۵ درصد) این نوع میانبارها را فاز گازی تشکیل می‌دهد. این نوع میانبارها به طور عمدۀ به شکل‌های کروی و نامنظم تا نیمه‌شکل دار وجود دارند و همراه با میانبارهای سیال دو فازی غنی از مایع هستند (شکل ۶ ج).

دماستجی میانبارهای سیال: به دلیل ریز بودن میانبارهای سیال دوفازی غنی از گاز و امکان بروز خطا، بررسی‌های دماستجی فقط برای میانبارهای سیال دوفازی غنی از مایع انجام شد. برای این منظور، نخست عمل سرمایش و سپس گرمایش بر میانبارهای سیال صورت گرفت. طی سرمایش، انجماد پایانی میانبارهای سیال در گستره دمایی ۸۰-۹۰ درجه سانتی‌گراد انجام شد. با افزایش دما، نخستین نقطه ذوب یخ (T_{fm}) تعیین شد که حدود ۲۱-۲۱ درجه سانتی‌گراد به دست آمد. مقادیر دمای همگدازی (T_{fm}) میانبارها نشان می‌دهد که NaCl نمک محلول غالب در سیال‌های گرمایشی بوده است. سپس دماهای ذوب آخرین قطعه یخ (T_{m_{ice}}) اندازه‌گیری شد که مقادیر آن در گستره ۱۶/۷۰-۵/۱۰ تا درجه سانتی‌گراد متغیر است. شوری میانبارهای سیال بر اساس مقادیر T_{m_{ice}} [۲۱] در گستره ۸ تا ۲۰ درصد وزنی معادل نمک طعام محاسبه شد اما بیشترین فراوانی شوری به دست آمده مربوط به مقادیر بین ۱۱ تا ۱۲/۵ درصد وزنی معادل نمک طعام است (شکل ۷ الف). طی گرمایش، میانبارهای سیال تا دمای حدود ۵۵ درجه سانتی‌گراد گرم شده و همه آنها با از بین رفتن فاز گازی همگن شدنند. دمای همگن‌شدنگی میانبارهای سیال در گستره ۱۴۰ تا ۳۸۰ درجه سانتی‌گراد بوده و بیشترین فراوانی آن مربوط به گستره دمایی ۲۳۰ تا ۲۶۰ درجه سانتی‌گراد است (شکل ۷ ب). نتایج به دست آمده از بررسی‌های دماستجی میانبارهای سیال در جدول ۱ آورده شده است.

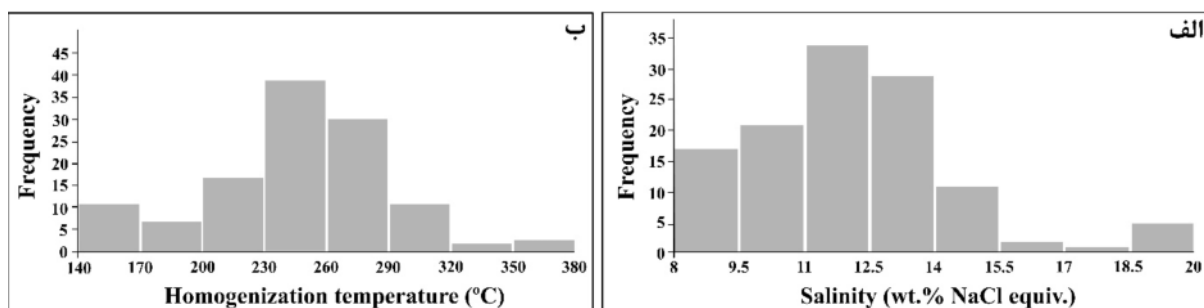
سنگنگاری میانبارهای سیال: در بررسی‌های سنگنگاری میانبارهای سیال، ویژگی‌هایی چون شکل، نوع، اندازه، درجه پرشدگی و نسبت‌های فازی آنها بررسی شدند. میانبارهای سیال موجود در کانی‌های کوارتز منطقه خوینرود از نظر ریخت‌شناسی به صورت نامنظم و بی‌شکل، کشیده، بیضوی و نیمه‌شکل دار تا شکل دار دیده می‌شوند (شکل‌های ۶ الف تا ت) و شامل انواع اولیه (P، شکل ۶ الف) و ثانویه (S؛ شکل ۶ ث) هستند [۱۹]. دماستجی اغلب برای میانبارهای سیال اولیه انجام شد. اندازه میانبارهای سیال در منطقه خوینرود کمتر از ۵ تا ۳۵ میکرون (اغلب ۱۰ تا ۲۰ میکرون) است و گاهی پدیده باریکشدنگی نیز در آنها دیده می‌شود (شکل ۶ ت). هیچ شاهدی از وجود CO₂ مایع یا گاز و کانی‌های نوزاد در میانبارهای سیال منطقه خوینرود دیده نشد. میانبارهای سیال بررسی شده را می‌توان بر پایه مقدار فازی موجود [۲۰] و به ترتیب فراوانی به انواع دوفازی غنی از مایع (L+V)، دوفازی غنی از گاز (V+L) و تک‌غاز گازی (V) تقسیم نمود که در ادامه توضیح داده می‌شود.

دوفازی غنی از مایع (L+V): این نوع میانبارهای سیال نسبت به انواع دیگر بیشترین فراوانی را دارند و اغلب به صورت شکل‌های نامنظم، کروی، مربع، مستطیل، کشیده و نیمه‌شکل دار تا شکل دار هستند. این نوع میانبارها هم به صورت اولیه و هم به صورت ثانویه وجود دارند. در این نوع میانبارهای سیال، فاز مایع غالب است و به طور تقریبی بیش از ۸۰ درصد حجمی میانبارها را تشکیل می‌دهد و درجه پرشدگی آنها بیشتر است. اندازه این نوع میانبارها اغلب بین ۱۰ تا ۲۰ میکرون متغیر است و پدیده باریکشدنگی نیز بیشتر در این نوع میانبارها دیده می‌شود (شکل‌های ۶ الف تا ت).

دوفازی غنی از گاز (V+L): فاز گازی در این نوع میانبارهای سیال غالب بوده و حدود بیش از ۷۰ درصد حجم میانبارها را اشغال کرده است، از این‌رو، این نوع میانبارها درجه پرشدگی پایینی دارند. این نوع میانبارها نسبت به میانبارهای سیال دو فازی غنی از مایع فراوانی کمتری دارند و اندازه بیشتر آنها به طور تقریبی ۱۰ تا ۱۵ میکرون است. این نوع میانبارها بیشتر



شکل ۶ تصاویر میکروسکوپی از انواع میانبارهای سیال در کانه‌های کوارتز منطقه خوینرود: (الف) میانبار سیال اولیه دو فازی غنی از مایع ($L+V$) با شکل نامنظم در کنار میانبار سیال دو فازی غنی از گاز ($V+L$), (ب) میانبارهای سیال دو فازی غنی از مایع ($L+V$) با شکل بیضوی, (پ) میانبارهای سیال دو فازی غنی از مایع ($L+V$) که به صورت مرغ و مستطیلی شکل دیده می‌شوند, (ت) میانبار سیال دو فازی غنی از مایع ($L+V$) با شکل کشیده و میانبار سیالی که دچار پدیده باریک‌شدگی شده است, (ث) میانبارهای سیال ثانویه و (ج) میانبارهای سیال دو فازی غنی از مایع ($L+V$) همراه با میانبار سیال تک فاز گازی (V).



شکل ۷ الف) نمودار ستونی شوری (بیشترین فراوانی مربوط به گستره ۱۱ تا ۱۲.۵ درصد وزنی معادل نمک طعام است) و ب) نمودار ستونی دمای همگن‌شدگی (بیشترین فراوانی مربوط به گستره ۲۲۰ تا ۲۳۰ درجه سانتی‌گراد است) برای میانبارهای سیال منطقه خوینرود.

جدول ۱ نتایج بررسی‌های دامانجی میانبارهای سیال در منطقه خوینرود.

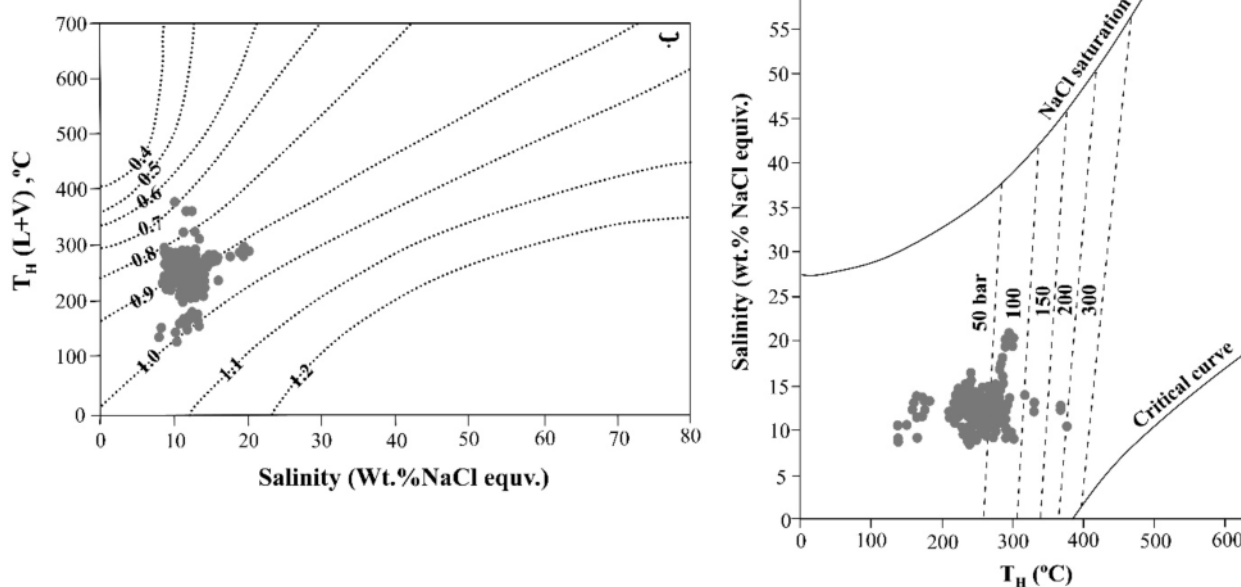
شماره نمونه	تعداد	اندازه (μm)	کانه	نوع	$T_{m_{ice}}$ (°C)	Wt% NaCl.eq	Th (°C)	(g/cm³)
KH-1	۲۱	۳۵-۹	کوارتز	$L+V$	(-۵,۶۶)-(-۱۶,۱۹)	۸,۱۹-۷۵,۵۹	۳۰-۲۱۶	۰,۰-۸۴,۹۴
KH-2	۲۴	۳۵-۱۰	کوارتز	$L+V$	(-۵,۸۰)-(-۱۶,۷۰)	۸,۲۰-۹۴	۳۸۰-۲۱۷	۰,۰-۶۸,۹۴
KH-3	۲۹	۳۰-۹	کوارتز	$L+V$	(-۵,۱۰)-(-۱۰,۱۲)	۱۴-۸,۰۶	۲۸۳-۱۴۰	۰,۱-۸۶
KH-4	۲۳	۳۲-۸	کوارتز	$L+V$	(-۵,۲۶)-(-۱۰,۱۲)	۸,۱۴-۲۷,۰۶	۳۰۰-۱۴۰	۰,۱-۸۱
KH-31	۲۳	۳۵-۱۳	کوارتز	$L+V$	(-۵,۸۰)-(-۱۲,۰۱)	۸,۱۵-۹۴,۹۶	۳۶۸-۲۰۹	۰,۰-۷۳,۹۵

سیال تک‌فاز گازی می‌تواند بیانگر آن باشد که سیال‌های کانه‌ساز طی نهشت کانسنسگ‌ها دستخوش پدیده جوشش شده‌اند [۲۲، ۲۳]. از اینرو، با توجه به رخداد فرآیند جوشش در

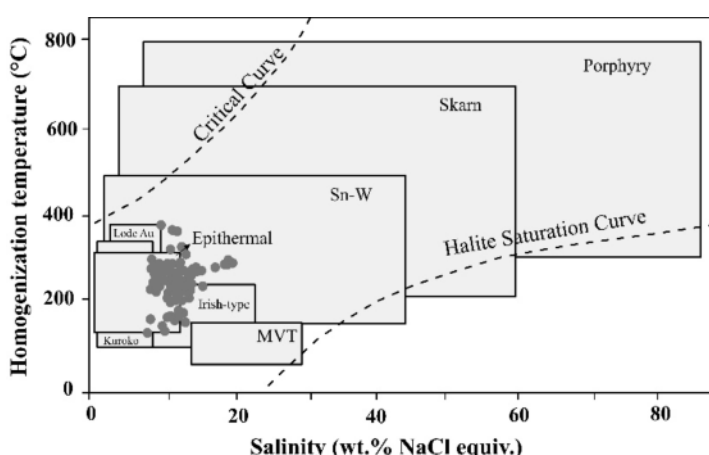
ویژگی و تکامل سیال‌های کانه‌ساز وجود بافت برشی در رگه-رگچه‌های کوارتزی و همچنین همزیستی میانبارهای سیال دوفازی غنی از مایع با میانبارهای

بورنیت و طلا [۲۶]، تشکیل بافت‌هایی از قبیل نواری، شانه‌ای، پرکننده فضای خالی، حفره‌ای و برشی در رگه- رگچه‌های کوارتزی [۲۷]، گسترش انواع دگرسانی‌های سیلیسی، فیلیک، آرزیلیک و پروپیلیتیک [۲۸، ۲۹] و همچنین مقادیر شوری و دمای همگن‌شدن میانبارهای سیال [۳۰] می‌تواند بیانگر آن باشد که کانی‌سازی در منطقه خوینرود در ردیف کانسارهای فراگرمایی نوع سولفیدشدنگی پایین قرار دارد. در جدول ۲ ویژگی‌های ذخیره مس- طلای خوینرود با برخی از کانسارهای فراگرمایی نوع سولفیدشدنگی پایین در ایران مقایسه شده است [۳۴-۳۱]. برای تعیین نوع کمپلکس‌های مؤثر در حمل فلزها می‌توان از نمودار دومتغیره دمای همگن‌شدنگی نسبت به شوری استفاده کرد [۳۵]. بر این اساس، لیگاندهای مؤثر در حمل و نقل فلزها در منطقه خوینرود از هر دو نوع کلربیدی و سولفیدی بوده‌اند (شکل ۱۰ الف). براساس نمودار شوری نسبت به دمای همگن‌شدنگی استفاده شده برای تعیین روند تکاملی سیال‌های کانه‌ساز در منطقه خوینرود [۱۸، ۲۰]، پدیده‌های جوشش، سرد شدن و رقیق‌شدنگی با سیال‌های جوی مهمترین عوامل در نهشت کانستنگ‌ها بوده‌اند (شکل ۱۰ ب).

میانبارهای سیال منطقه خوینرود، فشار بهدام افتادن سیال‌های کانه‌ساز معادل فشار ایستابی در دمای همگن‌شدنگی است [۲۱]. براساس نمودار دمای همگن‌شدنگی نسبت به شوری [۲۰]، فشار بیشتر میانبارهای سیال خوینرود حدود ۵۰ بار برآورد می‌شود (شکل ۸ الف). این مقدار فشار می‌تواند بیانگر معادل عمق ۵۰۰ متری زیر سطح ایستابی باشد که نزدیک به عمق تشکیل بیشتر ذخایر فراگرمایی است [۲۴]. بر پایه یافته‌های برآمده از دمای همگن‌شدنگی و شوری میانبارهای سیال می‌توان چگالی سیال را بدون در نظر گرفتن شرایط بهدام افتادن آنها تعیین کرد [۲۵]. جایابی مقادیر دمای همگن‌شدنگی و شوری میانبارهای سیال منطقه خوینرود بر نمودار مرجع [۱۸] نشان می‌دهد که چگالی میانبارهای سیال در گستره ۰-۶۸ تا ۱ گرم بر سانتی‌متر مکعب قرار دارد، اما بیشتر میانبارها دارای چگالی‌هایی بین ۰-۸۵ تا ۰-۹۵ گرم بر سانتی‌متر مکعب هستند (شکل ۸ ب). از مقایسه نتایج دما‌سنجی میانبارهای سیال منطقه خوینرود با نمودار مرجع [۱۸] مشخص می‌شود که یافته‌های میانبارهای سیال اغلب در گستره کانسارهای نوع فراگرمایی جای دارند (شکل ۹). افزون بر این، شواهدی چون حضور کانی‌های کالکوپیریت، پیریت،



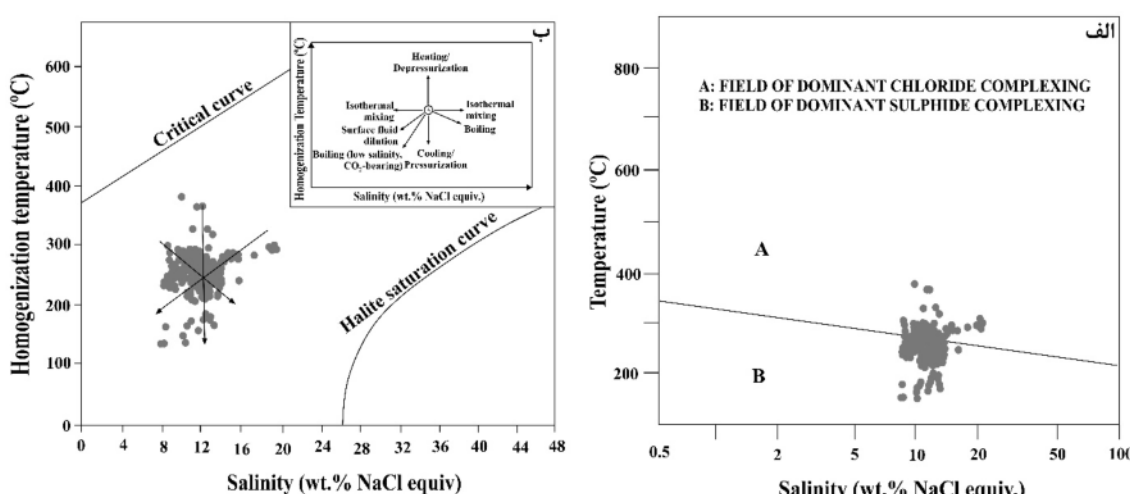
شکل ۸ (الف) نمودار دو متغیره دمای همگن‌شدنگی نسبت به شوری [۲۰] برای نشان دادن الگوی توزیع یافته‌های مربوط به میانبارهای سیال منطقه خوینرود نسبت به منحنی‌های بحرانی و اشباع هالیت و (ب) تغییرات مقدار چگالی میانبارهای سیال منطقه خوینرود در نمودار دمای همگن‌شدنگی نسبت به شوری [۱۸] که بیشتر مقادیر در گستره ۰-۸۵ تا ۰-۹۵ گرم بر سانتی‌متر مکعب قرار دارند.



شکل ۹ نمودار دمای همگن شدگی- شوری [۱۸] برای تعیین خاستگاه احتمالی سیال‌های گرمابی در منطقه خوینرود که در آن نقاط مربوط به یافته‌های میانبارها به طور عمدۀ در گستره کانسارهای نوع فراگرمایی واقع هستند.

جدول ۲ مقایسه ویژگی‌های ذخیره مس- طلای خوینرود با برخی از کانسارهای فراگرمایی نوع سولفیدشدگی پایین در ایران.

ویژگی	شلنگ	شمال بزمان	کالجوبه	قرچاهی	خوینرود
سنگ میزان	توف، آندزیت و داسیت	آندزیت و توف	پیروکسن آندزیت و تراکی آندزیت	آندریت و آندزیت	کوارتزموزوونیت و دیوریت
دگرسانی	پروپیلیتیک، آرژیلیک حدواسط، سیلیسی و کربناتی	پروپیلیتیک، آرژیلیک، سریسیتی، کربناتی و سیلیسی	سیلیسی، فیلیک، آرژیلیک و پروپیلیتیک		
کانه‌ها	کالکوبیریت، پیریت و مگنتیت	پیریت، اسفالریت، گالن، طلا	کالکوبیریت، پیریت و طلا	کالکوبیریت، پیریت، بورنیت و طلا	کالکوبیریت، پیریت، بورنیت و طلا
بافت	گل‌کلمی، شانه‌ای، قشرگونه، دانه‌ای، پرمانند، برشی، تیغه‌ای و جانشینی	کلوفرم، حفره‌ای، قشری، شانه‌ای، نواری و برش‌های گرمایی	برکنده فضای خالی و رگه‌ای	نواری، شانه‌ای، پرکنده فضای خالی، حفره‌ای و برشی	
فلزها	من، سرب، روی، طلا و نقره	طلا	من	طلای سیال (°C)	من- طلا
دماهی سیال (wt.% NaCl)	۳۱۳-۲۲۶	۲۹۶-۱۹۰	۳۲۴-۱۷۵	۳۴۰-۲۰۰	۳۸۰-۱۴۰
مرجع	[۳۱]	[۳۲]	[۳۳]	[۳۴]	[۳۵]



شکل ۱۰ (الف) نمودار شوری نسبت به دمای همگن شدگی [۳۵] برای مشخص کردن نوع کمپلکس‌های حمل کننده فلزها، که براساس آن، هر دو کمپلکس‌های سولفیدی و کلریدی در حمل و انتقال فلزهای کانسنگی در سیال‌های کانه‌زای منطقه خوینرود نقش داشته‌اند و (ب) نمودار شوری- دمای همگن شدگی [۱۸] برای یافته‌های میانبارهای سیال منطقه خوینرود که نشان‌دهنده فرآیندهای جوشش، سرد شدن و رقیق شدن با سیال‌های جوی طی دگرگونی سیال گرمابی است.

۵- بررسی کانی‌شناسی کانی‌های سولفیدی، بافت‌های موجود در رگه-رگچه‌های کوارتز و یافته‌های میانبارهای سیال گویای آن است که کانی‌سازی در منطقه خوینرود را می‌توان از نوع ذخایر فراگرمایی نوع سولفیدگی پایین در نظر گرفت.

قدرتانی

بدین وسیله از زحمات جناب آقای مهندس علیزاده، مدیریت محترم شرکت فلزات پایه خوینرود که با فراهم کردن شرایط بازدید از منطقه و نمونه‌برداری نقش بهسازی در انجام هر چه بهتر این پژوهش بر عهده داشته‌اند، سپاسگزاری می‌شود.

مراجع

- [1] Nabavi M.H., "An introduction to the Iranian geology (in Persian)", Geological Survey of Iran, (1976) 110p.
- [2] Mehrpartou M., Aminifazl, A., Radfar J., "Geological map of the Varzaghan (1:100000 scale) (in Persian)", Geological Survey of Iran, Tehran (1992).
- [3] Ghorbani M., "An introduction to economic geology of Iran (in Persian)", Geological Survey and Mineral Exploration of Iran (2002) 659p.
- [4] Maghsoudi A., Rahmani M., Rashidi B., "Gold deposits and indications of Iran (in Persian)", Arian Zamin publication (2004) 364p.
- [5] Calagari A.A., "Geology and fracture-related hypogene hydrothermal alteration and mineralization of porphyry copper deposit at Sungun, Iran", Journal Geological Society of India 64 (2004) 595-618.
- [6] Sheikh S, Calagari A.A., Abedini A., "The mineralogy of alteration systems in Masjeddagh, east of Jolfa, East - Azarbaijan Province (in Persian)", Iranian Journal of Crystallography and Mineralogy 17 (4) (2010) 579-590.
- [7] Atalou S., Nazafati N., Lotfi M., Aghazadeh M., "Fluid inclusion investigations of the Masjed Dagh copper-gold porphyry-epithermal mineralization, East Azerbaijan Province, NW Iran", Open Journal of Geology 7(8) (2017) 1110-1127.
- [8] Pournik P., "Economic geology and Au exploration at Sharafabad-Hizehjan area (northwest of Varzaghan) (in Persian with English abstract)", Institute of Earth Science, Geological Survey of Iran (2002) 201p.

برداشت

مهمترین نتایج بدست آمده از بررسی‌های سنگنگاری، پهنه‌های دگرسانی و کانی‌سازی به همراه یافته‌های میانبارهای سیال در منطقه خوینرود به شرح زیر هستند:

۱- کانی‌سازی در منطقه خوینرود به صورت رگه-رگچه‌های کوارتزی در راستای پهنه‌های گسلی و درون شکستگی‌ها و طی دو مرحله درونزاد و برونزاد انجام شده است. توده‌های نفوذی با ترکیب کوارتزموزنونیتی و دیوریتی سنگ‌های میزان این کانه‌زایی هستند.

۲- دگرسانی‌های سیلیسی، فیلیک، آرژیلیک و پروپیلیتیک پیرامون رگه-رگچه‌های کوارتزی گسترش یافته‌اند. بافت‌های نواری، شانه‌ای، پرکننده فضای خالی، حفره‌ای و برشی در رگه-رگچه‌های کوارتزی شناسایی شدند. کانه‌زایی درونزاد با حضور کانی‌های کالکوپیریت، پیریت، بورنیت و طلا مشخص می‌شود که با کانی‌های برونزاد از جمله اکسیدها و هیدروکسیدهای آهن (گوتیت، هماتیت و جاروسیت)، کربنات‌های مس (مالاکیت و آزوریت) و سولفیدهای ثانویه مس (کوولیت و کالکوسیت) پوشانده شده‌اند.

۳- بر اساس مقدار فاز اصلی، سه نوع میانبار سیال (دوفازی غنی از مایع، دوفازی غنی از گاز و تکفار گازی) شناسایی شد. بررسی‌های دماسنجدی بر میانبارهای سیال دوفازی غنی از مایع موجود در کانی کوارتز تشکیل شده در زمان کانی‌سازی نشان داد که شوری آنها در گستره ۸ تا ۲۰ درصد وزنی معادل نمک طعام و دمای همگن‌شدنی آنها در گستره ۱۴۰ تا ۳۸۰ درجه سانتی‌گراد در تغییر است.

۴- بر پایه نتایج دماسنجدی میانبارهای سیال، سیال‌های کانه‌ساز دارای چگالی ۰.۶۸ تا ۱ گرم بر سانتی‌متر مکعب و فشار حدود ۵۰ بار بوده‌اند که بر پایه این مقدار فشار، عمق کانی‌سازی حدود ۵۰۰ متری زیر سطح ایستابی برآورد شد. همچنین نتایج دماسنجدی میانبارهای سیال نشان داد که کمپلکس‌های سولفیدی و کلریدی نقشی مهم در حمل فلزهای کانسنگی داشته‌اند و فرآیندهای جوشش، سرد شدن و رقیق‌شدنی با سیال‌های جوی از عوامل مؤثر در نهشت کانی‌های کانسنگی بوده‌اند.

- [18] Wilkinson J.J., "Fluid inclusions in hydrothermal ore deposits", *Lithos* 55 (2001) 229-272.
- [19] Roedder E., "Discussion of a reassessment of phase-equilibria involving 2 liquids in the system $K_2O-Al_2O_3-FeO-SiO_2$ ", *Contributions to Mineralogy and Petrology* 82 (1984) 284-290.
- [20] Shepherd T.J., Rankin A.H., Alderton D.H., "A practical guide to fluid inclusion studies", Blackie, Glasgow (1985) 239p.
- [21] Bodnar R.J., "Introduction to aqueous-electrolyte fluid inclusions", In: Samson I., Anderson A., Marshal D., (Editors), *Fluid inclusions: Analysis and interpretation*. Mineralogical Association of Canada, Short Course 32 (2003) 81-100.
- [22] Simmons S.F., White N.C., John, D.A., "Geological characteristics of epithermal precious and base metal deposits", In: Hedenquist J.W., Thompson J.F.H., Goldfarb R.J., Richards J.P., (Editors), *Economic Geology One Hundredth Anniversary Volume*, Society of Economic Geologists, Littleton (2005) 485-522.
- [23] Moncada D., Mutchler S., Nieto A., Reynolds T.J., Rimstidt J.D., Bodnar R.J., "Mineral textures and fluid inclusion petrography of the epithermal Ag-Au deposits at Guanajuato, Mexico: Application to exploration", *Journal of Geochemical Exploration* 114 (2012) 20-35.
- [24] Bodnar, R.J., Lecumberri-Sanchez P., Moncada D., Steele-MacInnis M., "Fluid Inclusions in Hydrothermal Ore Deposits", In: Holland H.D., Turekian K.K., (Editors), *Treatise on Geochemistry*. Elsevier, Oxford (2014) 119-142.
- [25] Bodnar R.J., "A method of calculating fluid inclusion volumes based on vapor bubble diameters and PVTX properties of inclusion fluid", *Economic Geology* 78(3) (1983) 535-542.
- [26] Hedenquist J.W., Arribas A.R., Gonzalez-Urien E., "Exploration for epithermal gold deposits", In: Hagemann S.G., Brown P.E., (Editors), *Gold in 2000*, Society of Economic Geologists, Littleton (2000) 245-277.
- [27] Dong G., Morrison G., Jaireth S., "Quartz textures in epithermal veins, Queensland-
- [9] Ghadimzadeh H., "Economic geology and Au exploration at Safikhanlou-Noghdouz area (SE Ahar) (in Persian with English abstract)", MSc Thesis, Institute of Earth Science, Geological Survey of Iran (2002) 232p.
- [10] Miranvari A.S., Calagari A.A., Siahcheshm K., Sohrabi G., "Investigation of genesis and fluid origin in Noghduz gold bearing quartz veins, East Azarbaijan Province, northwest of Iran (in Persian)", *Iranian Journal of Crystallography and Mineralogy* 27 (3) (2019) 551-564.
- [11] Baniadam F., "Geology and genesis of gold-copper mineralization in Nabijan area (in Persian with English abstract)", MSc Thesis, Institute of Geoscience, Geological Survey of Iran (2003) 167p.
- [12] Gharesi M., Rasa I., Yazdi M., "Investigation of Mazraeh Skarn mineralization, North of Ahar, with an emphasis on fluid inclusion studies (in Persian)", *Iranian Journal of Crystallography and Mineralogy* 26 (1) (2018) 229-244.
- [13] Ferdowsi R., Calagari A.A., Hosseinzadeh M.R., Siahcheshm K., "Petrography, geochemistry and mineral chemistry of Astarghan granodioritic stock, Kharvana, East-Azarbaidjan (in Persian)", *Iranian Journal of Crystallography and Mineralogy* 23 (4) (2016) 759-774.
- [14] Momenzadeh M., "Evaluation of the known ore deposits in Ahar rectangle (in Persian)", Geological Survey and Mineral Exploration of Iran, Tehran, Report (1985).
- [15] Mobasher A., Azarm F., "Investigation and introduction of the potential of gold and other elements in the Khoynaroud area (northwest of Ahar) using the geochemical method and heavy minerals at 1:20000 scale (in Persian)", Geological Survey and Mineral Exploration of Iran, Tehran, Report (1991) 117p.
- [16] ESPEER Group., "Report of exploration of the Khoynaroud mineralized area (north of Varzaghan city, East Azarbaidjan province) for the purpose of exploration of precious and base metals (in Persian)", Geological Survey and Mineral Exploration of Iran, Tehran (2006).
- [17] Whitney D.L., Evans B.W., "Abbreviations for names of rock-forming minerals", *American Mineralogist* 95 (2010) 185-187.

- [32] Omidvar Eshkalak M.R., Mokhtari A.A., "Geology, alteration, geochemistry and fluid inclusion of Au mineralization in the north Bazman (in Persian)", Journal of Geosciences 24 (95) (2015) 165-180.
- [33] Hosseini Dinani H., Bagheri H., Shamsipour Dehkordi R., "Mineralization and geochemical studies in the Kalchouyeh occurrence, southwest of Naein (in Persian)", Journal of Economic Geology 4 (2) (2012) 241-256.
- [34] Hassani Soughi Z., Calagari A.A., Sohrabi Gh., "Gold-sulfide mineralization and microthermometry in quartz veins/veinlets in the Gharehchay area, south of Tikmehdash, East-Azabaidjan province (in Persian)", Iranian Journal of Crystallography and Mineralogy (29) (1) (2021) 97-110.
- [35] Pirajno F., "Hydrothermal processes and mineral systems", Springer Science, New York (2009) 1273p.
- [36] Classification, origin, and implication", Economic Geology 90(6) (1995) 1841-1856.
- [28] Cooke D.R., McPall D.C., Bloom M.S., "Epithermal gold mineralization, Acupan, Baguio District, Philippines, geology, mineralization, alteration and the thermochemical environment of ore deposition", Economic Geology 91(2) (1996) 243-272.
- [29] Sparkes G.W, "A prospector's guide to alteration and epithermal gold mineralization—Examples from Eastern Avalon", Technical Report, Geological Survey Newfoundland and Labrador, Canada (2012) 27p.
- [30] Corbett G., "Epithermal gold for explorationists", Australian Institute of Geoscientists 1 (2002) 1-26.
- [31] Salehi Tinooni M., Abedini A., Calagari A.A., "Investigation of mineralization, REE geochemistry, and fluid inclusions studies of the Shalang vein-type polymetallic ore deposit, southwest of Kerman (in Persian)", Iranian Journal of Crystallography and Mineralogy 27 (4) (2019) 767-780.